

## АППАРАТНЫЕ ФУНКЦИИ ФОТОЭЛЕКТРИЧЕСКИХ ТЕНЕВЫХ ПРИБОРОВ ДЛЯ ИССЛЕДОВАНИЯ СЛУЧАЙНО-НЕОДНОРОДНЫХ СРЕД

Ю. И. Копилевич

Предложен метод расчета аппаратной функции теневого прибора с произвольным световым пучком, не требующий промежуточного определения моментов светового поля в случайно-неоднородной среде. Проведен анализ связи общих характеристик аппаратных функций одноходовых и двухходовых (зеркальных) приборов со свойствами четности функции пропускания по интенсивности теневой диафрагмы для пучков с плоским фазовым фронтом и при наличии кривизны. В качестве примера рассмотрена аппаратная функция теневого прибора с ножом Фуко и световым пучком прямоугольного сечения.

Из результатов работ [1, 2] следует, что в условиях применимости борновского приближения в задаче рассеяния светового пучка в объеме случайно-неоднородной среды, анализируемом произвольным оптическим прибором с фотоэлектрической регистрацией, для корреляционной функции  $B(\tau)$  сигнала прибора  $I(t)$  ( $t$  — время)

$$B(\tau) \equiv \langle [I(t+\tau) - \langle I(t+\tau) \rangle] [I(t) - \langle I(t) \rangle] \rangle$$

(угловыми скобками обозначается усреднение по ансамблю реализаций исследуемой среды) справедливо выражение

$$B(\tau) = \int \Phi(\eta) \cos(\eta v \tau) P(\eta) d^2 \eta. \quad (1)$$

Здесь  $\Phi(\eta)$ ,  $\eta \equiv |\eta|$  — трехмерный энергетический спектр поля флуктуаций диэлектрической проницаемости среды, предполагаемого статистически однородным, изотропным и стационарным;  $v$  — упорядоченная скорость движения среды относительно прибора (направленная перпендикулярно его оптической оси);  $\eta = (\eta_1, \eta_2)$  — двумерный вектор в плоскости, перпендикулярной оси светового пучка в исследуемом объеме. Функция  $P(\eta)$  в (1), отражающая специфику прибора, может быть названа аппаратной функцией, действительно, в силу (1) не только для корреляционной функции, но и для других квадратичных характеристик (дисперсии  $D$ , спектра  $S$ ) сигнала прибора вклад различных составляющих спектра неоднородностей определяется этой функцией

$$D = B(0) = \int_0^\infty \Phi(\eta) \eta \left\{ \int_0^{2\pi} P[\eta, \varphi] d\varphi \right\} d\eta, \quad (2)$$

$$S(\omega) = \frac{1}{2\pi} \int_{-\infty}^\infty B(\tau) e^{i\omega\tau} d\tau = \frac{1}{v} \int_{|\omega|/v}^\infty \Phi(\eta) \frac{\eta}{\sqrt{\eta^2 - \frac{\omega^2}{v^2}}} \times \\ \times \left\{ P\left[\eta, \arccos\left(\frac{\omega}{\eta v}\right)\right] + P\left[\eta, -\arccos\left(\frac{\omega}{\eta v}\right)\right] \right\} d\eta, \quad (3)$$

где  $P[\eta, \varphi] = P(\eta)$  в полярных координатах с углом  $\varphi$ , отсчитываемым от направления вектора  $v$ .

Для теневых приборов различных типов с фотоэлектрической регистрацией аппаратные функции вычислялись в [2-5] для случая гауссовского светового пучка; при этом использовался аналитический вид статистических моментов поля такого пучка, прошедшего исследуемый объем. Применение развитого в этих работах метода для расчета аппаратных функций теневых приборов с пучками более общего вида наталкивается на сложность решения задачи распространения (в борновском приближении), так как в общем случае получить аналитические выражения для моментов рассеянного поля не удастся. В настоящей работе проводится анализ свойств аппаратных функций теневых приборов (в том числе двухходовых [5]) с теневыми диафрагмами любого вида и произвольными световыми пучками. Полученные выражения допускают простой расчет этих функций, не требующий промежуточного решения задачи распространения. Рассмотренный в качестве примера случай теневого прибора с прямоугольным (на начальной плоскости) пучком и ножом Фуко представляет самостоятельный интерес.

1. Временная корреляционная функция флуктуаций сигнала теневого прибора выражается через четвертый двухвременной центрированный момент анализируемого светового поля  $\Gamma(X; \rho_1, \rho_2, \rho_3, \rho_4; \tau)$  [3]

$$B(\tau) = \frac{1}{(2\pi)^4} \int d^2x_1 \Sigma(x_1) \int d^2x_2 \Sigma(x_2) \int d^2\rho_1 \int d^2\rho_2 \int d^2\rho_3 \int d^2\rho_4 \times \\ \times \exp\{ix_1(\rho_1 - \rho_2) + ix_2(\rho_3 - \rho_4)\} \Gamma(X; \rho_1, \rho_2, \rho_3, \rho_4; \tau). \quad (4)$$

Здесь  $\Sigma(x)$  — функция пропускания по интенсивности теневой диафрагмы;

$$\Gamma(X; \rho_1, \rho_2, \rho_3, \rho_4; \tau) \equiv \langle u(X, \rho_1, t + \tau) u^*(X, \rho_2, t + \tau) u(X, \rho_3, t) u^*(X, \rho_4, t) \rangle - \\ - \langle u(X, \rho_1, t + \tau) u^*(X, \rho_2, t + \tau) \rangle \langle u(X, \rho_3, t) u^*(X, \rho_4, t) \rangle;$$

$u(X, \rho, t)$ ,  $\rho = (y, z)$  — случайное световое поле на входной плоскости приемной части прибора в момент  $t$ . Формула (4) может быть переписана в виде

$$B(\tau) = \int d^2x' \Sigma(x') \int d^2x'' \Sigma(x'') \bar{\Gamma}(X; x', x'', \tau), \quad (5)$$

где

$$\bar{\Gamma}(X; x_1, x_2, x_3, x_4; \tau) \equiv \langle \bar{u}(X, x_1, t + \tau) \bar{u}^*(X, x_2, t + \tau) \bar{u}(X, x_3, t) \bar{u}^*(X, x_4, t) \rangle - \\ - \langle \bar{u}(X, x_1, t + \tau) \bar{u}^*(X, x_2, t + \tau) \rangle \langle \bar{u}(X, x_3, t) \bar{u}^*(X, x_4, t) \rangle, \quad (6)$$

причем

$$\bar{u}(X, x, t) = \frac{1}{2\pi} \int u(X, \rho, t) e^{ix\rho} d^2\rho \quad (7)$$

преобразование Фурье анализируемого поля. Для рассмотрения одноходовых и двухходовых теневых приборов возникает необходимость определения момента (6) соответственно в двух задачах распространения света через среду со случайными флуктуациями  $\varepsilon'(\mathbf{r}, t) \equiv \varepsilon'(x, \rho, t)$  диэлектрической проницаемости (см. рисунок, а и б). В задаче а, соответствующей одноходовым приборам, требуется найти момент (6) для поля  $u(L, \rho, t)$  в плоскости  $x = X = L$  ( $L$  — длина просматриваемого прибором объема), прошедшего слой случайно-неоднородной среды между плоскостями  $x = 0$  и  $x = L$  (направление распространения совпадает с осью  $x$ ). Двухходовым приборам соответствует [5] задача б (см. рисунок, б) определения момента (6) на плоскости  $x = X = 0$  для поля  $u(0, \rho, t)$ , прошедшего слой исследуемой среды толщиной  $L$  дважды (в плоскости  $x = L$  установлено плоское зеркало). Эта задача обычным приемом [6] сводится к задаче типа а (см. рисунок, в) о нахождении момента светового поля  $u(2L, \rho, t)$ , прошедшего слой рассеивающей среды между плоскостями  $x = 0$  и  $x = 2L$ , при-

чем флуктуации диэлектрической проницаемости в этом слое удовлетворяют условию

$$\varepsilon'(x, \rho, t) = \varepsilon'(2L - x, \rho, t), \quad 0 \leq x \leq 2L. \quad (8)$$

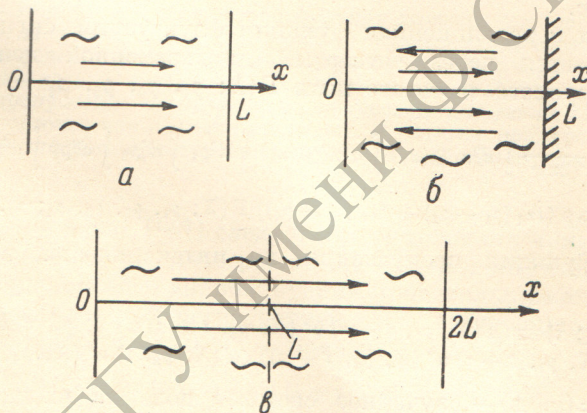
Во всех случаях *a*, *b* и *в* (см. рисунок) среда движется с упорядоченной скоростью *v*, перпендикулярной оси *x*, относительно системы координат (*x*,  $\rho$ ), связанных с прибором.

При решении задач *a* и *б* будем пользоваться моделью дельта-коррелированных флуктуаций [6]

$$\langle \varepsilon'(x_1, \rho_1, t + \tau) \varepsilon'(x_2, \rho_2, t) \rangle = \delta(x_1 - x_2) A(\rho_1 - \rho_2, \tau), \quad 0 \leq x_1, x_2 \leq L; \quad (9)$$

при этом в силу (8) в задаче *б* имеем

$$\langle \varepsilon'(x_1, \rho_1, t + \tau) \varepsilon'(x_2, \rho_2, t) \rangle = \begin{cases} \delta(x_1 - x_2) A(\rho_1 - \rho_2, \tau), & (x_1 - L)(x_2 - L) \geq 0, \\ \delta(x_1 + x_2 - 2L) A(\rho_1 - \rho_2, \tau), & (x_1 - L)(x_2 - L) \leq 0, \\ 0 \leq x_1, x_2 \leq 2L. \end{cases} \quad (10)$$



В формулах (9) и (10) эффективная пространственно-временная корреляционная функция  $A(\rho, \tau)$  в предположении справедливости гипотезы «замороженной турбулентности» [7] выражается через энергетический спектр  $\Phi(\eta)$  изотропной турбулентности

$$A(\rho, \tau) = 2\pi \int \Phi(\eta) e^{i\eta\rho + i\eta v\tau} d^2\eta. \quad (11)$$

2. Из параболического уравнения [6]

$$2ik \frac{\partial}{\partial x} u(x, \rho, t) + \Delta_{\perp} u + k^2 \varepsilon(x, \rho, t) u = 0, \quad x \geq 0;$$

$$u(0, \rho, t) = u_0(\rho)$$

или эквивалентного ему интегрального уравнения для Фурье-преобразованного поля  $\tilde{u}(x, \kappa, t)$  из (7)

$$\tilde{u}(x, \kappa, t) = e^{-i\frac{x}{2k}\kappa^2} \left\{ \tilde{u}_0(\kappa) + i \frac{k}{4\pi} \int_0^x dx' e^{i\frac{x'}{2k}\kappa^2} \int d^2\rho' e^{i\kappa\rho'} \varepsilon(x', \rho', t) u(x', \rho', t), \right.$$

$$\tilde{u}_0(\kappa) = \frac{1}{2\pi} \int d^2\rho e^{i\kappa\rho} u_0(\rho)$$

легко найти первые члены борновского разложения поля  $\tilde{u}$

$$\tilde{u}(x, \kappa, t) = {}_0\tilde{u}(x, \kappa) + {}_1\tilde{u}(x, \kappa, t) + {}_2\tilde{u}(x, \kappa, t) + \dots;$$

$$j\tilde{u} \sim O(\langle \varepsilon'^2 \rangle^{j/2}), \quad j = 0, 1, 2, \dots$$

в виде

$$\left. \begin{aligned} {}_0\bar{u}(x, \kappa) &= e^{-i \frac{x}{2k} x^2} \bar{u}_0(\kappa); \\ {}_1\bar{u}(x, \kappa, t) &= i \frac{k}{4\pi} \int_0^x dx' \int d^2\rho' e^{-i \frac{x-x'}{2k} x'^2} e^{i\kappa\rho' \varepsilon'}(x', \rho', t) {}_0u(x', \rho'). \end{aligned} \right\} \quad (12)$$

Формулы (12) позволяют дать выражение для момента (6) в плоскости  $x = X$  для задач *a* и *в* (см. рисунок)

$$\left. \begin{aligned} \bar{\Gamma}(X; \kappa_1, \kappa_2, \kappa_3, \kappa_4; \tau) &= \bar{\Gamma}_{1001} + \bar{\Gamma}_{0110} + \bar{\Gamma}_{1010} + \bar{\Gamma}_{0101} + O(\langle \varepsilon'^2 \rangle^{3/2}), \\ \bar{\Gamma}_{ijkl} &\equiv \langle i\bar{u}(X, \kappa_1, t + \tau) j\bar{u}^*(X, \kappa_2, t + \tau) k\bar{u}(X, \kappa_3, t) l\bar{u}^*(X, \kappa_4, t) \rangle. \end{aligned} \right\} \quad (13)$$

При этом удобно использовать запись [см. (9)–(11)].

$$\langle \varepsilon'(x_1, \rho_1, t + \tau) \varepsilon'(x_2, \rho_2, t) \rangle = 2\pi\Delta(x_1, x_2) \int \Phi(\eta) e^{i\eta(\rho_1 - \rho_2) + i\eta v\tau} d^2\eta, \quad (14)$$

где для задачи *a*

$$\Delta(x_1, x_2) = \delta(x_1 - x_2), \quad (15)$$

а в случае, описываемом задачей *в*,

$$\Delta(x_1, x_2) = \begin{cases} \delta(x_1 - x_2) & \text{при } (x_1 - L)(x_2 - L) \geq 0, \\ \delta(x_1 + x_2 - 2L) & \text{при } (x_1 - L)(x_2 - L) \leq 0. \end{cases} \quad (16)$$

Теперь по формуле (5) можно вычислить корреляционную функцию сигнала прибора в борновском приближении. Для одноходовых приборов (задача *a*) следует подставить в (5) выражение (13) при  $X=L$ , вычисленное с учетом (12), (14), (15). С точностью до  $O(\langle \varepsilon'^2 \rangle^{3/2})$  имеем

$$B_I(\tau) = \frac{\pi k^2}{2} \int d^2\eta \Phi(\eta) \cos(\eta v\tau) \int_0^L |\psi(\eta, x) - \psi^*(-\eta, x)|^2 dx, \quad (17)$$

где

$$\psi(\eta, x) = e^{-i \frac{x}{2k} \eta^2} \int d^2\kappa \Sigma(\kappa) \bar{\gamma}(\kappa - \eta, \kappa) e^{i \frac{x}{k} \kappa \eta}, \quad (18)$$

$$\bar{\gamma}(\kappa_1, \kappa_2) \equiv \bar{u}_0(\kappa_1) \bar{u}_0^*(\kappa_2) = \frac{1}{(2\pi)^2} \iint d^2\rho_1 d^2\rho_2 e^{i(\kappa_1\rho_1 - \kappa_2\rho_2)} u_0(\rho_1) u_0^*(\rho_2).$$

Для случая двухходового теневого прибора в (5) следует подставить момент (13) при  $X=2L$ , соответствующий задаче *в*. Воспользовавшись формулами (12), (14), (16), получим

$$B_{II}(\tau) = B_1(\tau) + B_2(\tau), \quad (19)$$

где

$$B_1(\tau) = \frac{\pi k^2}{2} \int d^2\eta \Phi(\eta) \cos(\eta v\tau) \int_0^{2L} |\psi(\eta, x) - \psi^*(-\eta, x)|^2 dx \quad (20)$$

совпадает с корреляционной функцией сигнала аналогичного одноходового прибора с базой  $2L$ , а

$$\begin{aligned} B_2(\tau) &= \frac{\pi k^2}{2} \int d^2\eta \Phi(\eta) \cos(\eta v\tau) \int_0^{2L} [\psi(\eta, x) - \psi^*(-\eta, x)] \times \\ &\quad \times [\psi(\eta, 2L - x) - \psi^*(-\eta, 2L - x)]^* dx \end{aligned} \quad (21)$$

[функция  $\psi$  по-прежнему дается выражением (18)].

Полученные результаты без труда обобщаются на случай частично-когерентного светового пучка<sup>[4]</sup>; при этом следует только в формуле (18)

понимать под величиной  $\tilde{\gamma}(\mathbf{x} - \boldsymbol{\eta}, \mathbf{x})$  преобразование Фурье от функции когерентности второго порядка [7]  $\gamma(\boldsymbol{\rho}_1, \boldsymbol{\rho}_2) \equiv u_0(\boldsymbol{\rho}_1) u_0^*(\boldsymbol{\rho}_2)$  (черта сверху обозначает усреднение по флуктуациям поля на начальной плоскости)

$$\tilde{\gamma}(\mathbf{x} - \boldsymbol{\eta}, \mathbf{x}) = \frac{1}{(2\pi)^2} \int d^2\rho_1 e^{i(\mathbf{x}-\boldsymbol{\eta})\cdot\rho_1} \int d^2\rho_2 e^{-i\mathbf{x}\cdot\rho_2} \gamma(\boldsymbol{\rho}_1, \boldsymbol{\rho}_2).$$

3. Выясним теперь общие свойства аппаратной функции  $P(\boldsymbol{\eta})$  теневого прибора. Из (1) и (17)–(21) следует, что для одноходовых приборов

$$P_I(\boldsymbol{\eta}) = \frac{\pi k^2}{2} \int_0^L |\psi(\boldsymbol{\eta}, x) - \psi^*(-\boldsymbol{\eta}, x)|^2 dx, \quad (22)$$

а для двухходовых

$$P_{II}(\boldsymbol{\eta}) = \frac{\pi k^2}{2} \int_0^{2L} \{ |\psi(\boldsymbol{\eta}, x) - \psi^*(-\boldsymbol{\eta}, x)|^2 + [\psi(\boldsymbol{\eta}, x) - \psi^*(-\boldsymbol{\eta}, x)] \times \\ \times [\psi(\boldsymbol{\eta}, 2L-x) - \psi^*(-\boldsymbol{\eta}, 2L-x)]^* \} dx. \quad (23)$$

Анализ результатов проведем для четных пучков, когда  $u_0(-\boldsymbol{\rho}) = u_0(\boldsymbol{\rho})$ . Будем рассматривать два класса теневых диафрагм:

1) «нечетные» диафрагмы, для которых

$$\Sigma(\mathbf{x}) = \frac{1}{2} [1 + \sigma(\mathbf{x})], \quad \sigma(-\mathbf{x}) = -\sigma(\mathbf{x}) \quad (24)$$

(характерным примером теневой диафрагмы, относящейся к этому классу, служит нож Фуко);

2) диафрагмы с четными функциями пропускания

$$\Sigma(-\mathbf{x}) = \Sigma(\mathbf{x}). \quad (25)$$

Напомним, что физический смысл функции пропускания по интенсивности накладывает ограничения на возможные значения  $\Sigma(\mathbf{x})$  и  $\sigma(\mathbf{x})$

$$0 \leq \Sigma(\mathbf{x}) \leq 1; \quad -1 \leq \sigma(\mathbf{x}) \leq 1.$$

В случае «нечетной» теневой диафрагмы из (18), используя четность функции  $\tilde{u}_0(\mathbf{x})$  и формулу (24), получим

$$\psi(\boldsymbol{\eta}, x) - \psi^*(-\boldsymbol{\eta}, x) = \int d^2\mathbf{x} \sigma(\mathbf{x}) \left\{ \text{Re } \tilde{\gamma}(\mathbf{x} - \boldsymbol{\eta}, \mathbf{x}) \cos \left[ \frac{x}{2k} (2\mathbf{x}\boldsymbol{\eta} - \eta^2) \right] - \right. \\ \left. - \text{Im } \tilde{\gamma}(\mathbf{x} - \boldsymbol{\eta}, \mathbf{x}) \sin \left[ \frac{x}{2k} (2\mathbf{x}\boldsymbol{\eta} - \eta^2) \right] \right\} + i \int d^2\mathbf{x} \left\{ \text{Re } \tilde{\gamma}(\mathbf{x} - \boldsymbol{\eta}, \mathbf{x}) \sin \left[ \frac{x}{2k} (2\mathbf{x}\boldsymbol{\eta} - \eta^2) \right] - \right. \\ \left. - \text{Im } \tilde{\gamma}(\mathbf{x} - \boldsymbol{\eta}, \mathbf{x}) \cos \left[ \frac{x}{2k} (2\mathbf{x}\boldsymbol{\eta} - \eta^2) \right] \right\}. \quad (26)$$

Пусть выполнены условия

$$\frac{L}{ka^2} \ll 1, \quad \frac{L}{kl_0^2} \ll 1 \quad (27)$$

( $a$  — характерный размер поперечного сечения пучка,  $l_0$  — минимальный масштаб неоднородностей в среде), обеспечивающие слабость дифракционных эффектов [7]; тогда

$$\left| \frac{x}{k} \mathbf{x}\boldsymbol{\eta} \right| \ll \left| \frac{L}{ka l_0} \right| \ll 1; \quad \left| \frac{x}{k} \eta^2 \right| \ll \left| \frac{L}{kl_0^2} \right| \ll 1. \quad (28)$$

С учетом (28) перепишем (26) в виде

$$\psi(\boldsymbol{\eta}, x) - \psi^*(-\boldsymbol{\eta}, x) \simeq \int d^2\mathbf{x} \sigma(\mathbf{x}) \text{Re } \tilde{\gamma}(\mathbf{x} - \boldsymbol{\eta}, \mathbf{x}) - i \int d^2\mathbf{x} \text{Im } \tilde{\gamma}(\mathbf{x} - \boldsymbol{\eta}, \mathbf{x})$$

(строго говоря, эта формула справедлива лишь асимптотически при  $L/ka^2$ ,  $L/kL_0^2 \rightarrow 0$ ) и после подстановки в (22) получим выражение для аппаратной функции сигнала одноходового теневого прибора с «нечетной» диафрагмой

$$P_I(\eta) = \frac{\pi k^2 L}{2} \left\{ \left| \int d^2 \mathbf{x} \Sigma(\mathbf{x}) \operatorname{Re} \tilde{\gamma}(\mathbf{x} - \eta, \mathbf{x}) \right|^2 + \left| \int d^2 \mathbf{x} \operatorname{Im} \tilde{\gamma}(\mathbf{x} - \eta, \mathbf{x}) \right|^2 \right\}. \quad (29)$$

Аналогично из (23) следует формула для аппаратной функции  $P_{II}$  двухходового прибора, отличающаяся от (29) только множителем

$$P_{II}(\eta) = 4P_I(\eta), \quad (30)$$

т. е.  $P_{II}$  в два раза превышает аппаратную функцию однотипного одноходового прибора с удвоенной базой [5]. Полезно еще выписать асимптотику функции  $P_I$  для крупномасштабных (по сравнению с поперечными размерами пучка) неоднородностей. Для этого подставим в (29) функцию  $\tilde{\gamma}$  в виде

$$\begin{aligned} \tilde{\gamma}(\mathbf{x} - \eta, \mathbf{x}) &\equiv \bar{u}_0(\mathbf{x} - \eta) \bar{u}_0^*(\mathbf{x}) = |\bar{u}_0(\mathbf{x})|^2 - \\ &- (\eta \nabla \bar{u}_0(\mathbf{x})) \bar{u}_0^*(\mathbf{x}) + \frac{1}{2} [\eta(\eta \nabla) \nabla \bar{u}_0(\mathbf{x})] \bar{u}_0^*(\mathbf{x}) + o(\eta^2) \end{aligned}$$

и воспользуемся четностью  $\bar{u}_0(\mathbf{x})$  и формулой (24). В результате имеем

$$P_I(\eta) = \frac{\pi k^2 L}{2} \eta^2 \left\{ \int d^2 \mathbf{x} \Sigma(\mathbf{x}) \operatorname{Re} \left[ \left( \frac{\eta}{\eta} \nabla \bar{u}_0(\mathbf{x}) \right) \bar{u}_0^*(\mathbf{x}) \right] \right\}^2 + o(\eta^2). \quad (31)$$

Для теневой диафрагмы с четной функцией пропускания из (18) при условиях (28) получим

$$\begin{aligned} \psi(\eta, x) - \psi^*(-\eta, x) &= 2i \int d^2 \mathbf{x} \Sigma(\mathbf{x}) \left\{ \operatorname{Re} \tilde{\gamma}(\mathbf{x} - \eta, \mathbf{x}) \sin \left[ \frac{x}{2k} (2\mathbf{x}\eta - \eta^2) \right] + \right. \\ &+ \operatorname{Im} \tilde{\gamma}(\mathbf{x} - \eta, \mathbf{x}) \cos \left[ \frac{x}{2k} (2\mathbf{x}\eta - \eta^2) \right] \left. \right\} \simeq i \frac{x}{k} \int d^2 \mathbf{x} \Sigma(\mathbf{x}) (2\mathbf{x}\eta - \eta^2) \operatorname{Re} \tilde{\gamma}(\mathbf{x} - \eta, \mathbf{x}) + \\ &+ 2i \int d^2 \mathbf{x} \Sigma(\mathbf{x}) \operatorname{Im} \tilde{\gamma}(\mathbf{x} - \eta, \mathbf{x}). \quad (32) \end{aligned}$$

Теперь из (22) и (32) получаем

$$\begin{aligned} P_I(\eta) &= \frac{\pi L^3}{6} \left[ \int d^2 \mathbf{x} \Sigma(\mathbf{x}) (2\mathbf{x}\eta - \eta^2) \operatorname{Re} \tilde{\gamma}(\mathbf{x} - \eta, \mathbf{x}) \right]^2 + \\ &+ \pi k L^2 \left[ \int d^2 \mathbf{x} \Sigma(\mathbf{x}) (2\mathbf{x}\eta - \eta^2) \operatorname{Re} \tilde{\gamma}(\mathbf{x} - \eta, \mathbf{x}) \right] \left[ \int d^2 \mathbf{x} \Sigma(\mathbf{x}) \operatorname{Im} \tilde{\gamma}(\mathbf{x} - \eta, \mathbf{x}) \right] + \\ &+ 2\pi k^2 L \left[ \int d^2 \mathbf{x} \Sigma(\mathbf{x}) \operatorname{Im} \tilde{\gamma}(\mathbf{x} - \eta, \mathbf{x}) \right]^2. \quad (33) \end{aligned}$$

Для пучка с плоским (при  $x=0$ ) фазовым фронтом поле  $u_0(\rho)$  можно считать вещественным; при этом  $\operatorname{Im} \tilde{\gamma} = 0$ . Таким образом, в случае плоского или слабо искривленного фазового фронта пучка

$$\begin{aligned} P_I(\eta) &\simeq \frac{\pi L^3}{6} \left[ \int d^2 \mathbf{x} \Sigma(\mathbf{x}) (2\mathbf{x}\eta - \eta^2) \operatorname{Re} \tilde{\gamma}(\mathbf{x} - \eta, \mathbf{x}) \right]^2 = \\ &= \frac{\pi L^3}{6} \eta^4 \left\{ \int d^2 \mathbf{x} \Sigma(\mathbf{x}) \left[ |\bar{u}_0(\mathbf{x})|^2 + 2 \frac{\mathbf{x}\eta}{\eta} \operatorname{Re} \left( \bar{u}_0^*(\mathbf{x}) \frac{\eta}{\eta} \nabla \bar{u}_0(\mathbf{x}) \right) \right] \right\}^2 + o(\eta^4), \quad (34) \end{aligned}$$

при этом для двухходового прибора из (23) следует

$$P_{II}(\eta) = 12P_I(\eta),$$

что в полтора раза превышает величину аппаратной функции аналогичного одноходового прибора с удвоенной базой (ср. [5]).

Напротив, если кривизна исходного фазового фронта достаточно велика, так что последнее слагаемое в (33) дает главный вклад в величину аппаратной функции, имеем

$$P_I(\eta) \simeq 2\pi k^2 L \left[ \int d^2 \mathbf{x} \Sigma(\mathbf{x}) \operatorname{Im} \tilde{\gamma}(\mathbf{x} - \eta, \mathbf{x}) \right]^2 = \\ = \frac{\pi k^2 L}{2} \eta^4 \left\{ \int d^2 \mathbf{x} \Sigma(\mathbf{x}) \operatorname{Im} \left[ \tilde{u}_0^*(\mathbf{x}) \frac{\eta}{\eta} \left( \frac{\eta}{\eta} \nabla \right) \nabla \tilde{u}_0(\mathbf{x}) \right] \right\}^2 + o(\eta^4). \quad (35)$$

В этом случае связь  $P_{II}(\eta)$  с  $P_I(\eta)$  оказывается такой же, как для приборов с «нечетной» диафрагмой (30):  $P_{II}(\eta) = 4P_I(\eta)$ .

Полученный результат об изменении характера зависимости аппаратной функции от базы прибора с возрастанием кривизны фронта пучка можно проиллюстрировать на простом примере теневого прибора с гауссовским пучком [7]

$$u_0(\rho) = A \exp \left\{ -\frac{\rho^2}{2a^2} - ik \frac{\rho^2}{2F} \right\}$$

и теневой диафрагмой с функцией пропускания

$$\Sigma(\mathbf{x}) = 1 - \exp \left\{ -x^2 \frac{a^2}{1 + \left( \frac{ka^2}{F} \right)^2} \right\}$$

(эффективный радиус теневой диафрагмы взят равным характерному размеру пятна в теневой плоскости при отсутствии неоднородностей в исследуемом объеме). Пусть выполнены условия (27) и  $ka^2/F \ll 1$ . Тогда из (22) для рассматриваемого случая нетрудно получить

$$P_I(\eta) = \frac{\pi}{96} E^2 e^{-\frac{3}{4} a^2 \eta^2} \eta^4 (ka^2)^3 \left[ \left( \frac{L}{ka^2} - \frac{ka^2}{F} \right)^3 + \left( \frac{ka^2}{F} \right)^3 \right], \quad (36)$$

где  $E \equiv \pi |A|^2 a^2$  — поток энергии через поперечное сечение пучка. Если радиус кривизны  $F$  фазового фронта велик, так что  $L/ka^2 \gg ka^2/F$ , аппаратная функция пропорциональна кубу базы прибора  $L$

$$P_I(\eta) \simeq \frac{\pi L^3}{96} E^2 e^{-\frac{3}{4} a^2 \eta^2} \eta^4$$

в соответствии с (34). В противоположном случае при  $L/ka^2 \ll ka^2/F$  (т. е. при достаточно большой кривизне фронта  $1/F$ ) из (36) получаем линейную зависимость от базы (35)

$$P_I(\eta) \simeq \frac{\pi L}{32} E^2 e^{-\frac{3}{4} a^2 \eta^2} \eta^4 (ka^2)^4 F^{-2}.$$

4. В качестве примера применения соотношений, полученных в п. 2, приведем расчет аппаратной функции теневого прибора с вполне когерентным световым пучком вида

$$u_0(\rho) = \begin{cases} A = \text{const} & \text{при } |y| \leq a, \quad |z| \leq b, \\ 0 & \text{в остальных случаях} \end{cases} \quad (37)$$

и ножом Фуко, которому отвечает функция пропускания

$$\Sigma(\mathbf{x}) = \begin{cases} 1 & \text{при } x_y \geq 0, \\ 0 & \text{при } x_y < 0, \end{cases} \quad \mathbf{x} = (x_y, x_z). \quad (38)$$

Подставляя в (18) преобразование Фурье поля (37)

$$\tilde{u}_0(\mathbf{x}) = \frac{2abA}{\pi} \frac{\sin(ax_y)}{ax_y} \frac{\sin(bx_z)}{bx_z},$$

имеем

$$\psi(\eta, \mathbf{x}) = e^{-i \frac{x}{2k} \eta^2} \frac{2ab}{\pi} |A|^2 \int_{-\infty}^{\infty} \frac{\sin(bx_z)}{bx_z} e^{i \frac{x}{k} x_z \eta z} dx_z \int_0^{\infty} \frac{\sin(ax_y)}{ax_y} e^{i \frac{x}{k} x_y \eta y} dx_y.$$

Отсюда при условиях (27) легко получить

$$\psi(\eta, x) - \psi^*(-\eta, x) \simeq 4 \frac{\sin(b\eta_z)}{\eta_z} \frac{\cos(a\eta_y)}{\eta_y} \text{Cin}(a\eta_y), \quad (39)$$

где родственная интегральному косинусу функция  $\text{Cin}(z)$  есть [8]

$$\text{Cin}(z) = \ln z - \text{Ci}(z) + \gamma,$$

причем выбираются главные значения  $\ln z$  и интегрального косинуса  $\text{Ci}(z)$ , а  $\gamma$  — постоянная Эйлера. Теперь из (22) и (39) находим аппаратную функцию одноходового прибора (31)

$$P_I(\eta) = \frac{\pi k^2 L}{2} E^2 \left[ \frac{\sin(b\eta_z)}{b\eta_z} \right]^2 \cos^2(a\eta_y) \left[ \frac{\text{Cin}(a\eta_y)}{a\eta_y} \right]^2 = \frac{\pi k^2 L}{2} E^2 (a\eta_y)^2 + O(\eta^4), \quad (40)$$

где  $E \equiv ab|A|^2$  — поток световой энергии через поперечное сечение пунка. Для двухходового прибора из (23) и (39) следует уже известное соотношение (30):  $P_{II}(\eta) = 4P_I(\eta)$ .

#### Литература

- [1] Ю. И. Копилевич, Г. Б. Социлин. *Опт. и спектр.*, 41, 136, 1976.
- [2] Ю. И. Копилевич, Г. Б. Социлин. *Опт. и спектр.*, 43, 1138, 1977.
- [3] Ю. И. Копилевич. *ПМТФ*, № 1, 73, 1978.
- [4] Ю. И. Копилевич, В. В. Фролов. *Опт. и спектр.*, 46, 333, 1979.
- [5] Ю. И. Копилевич, Г. Б. Социлин. *Опт. и спектр.*, 50, вып. 3, 1981.
- [6] В. И. Кляцкин. *Статистическое описание динамических систем с флуктуирующими параметрами*. «Наука», М., 1975.
- [7] А. С. Гурвич, А. И. Кон, В. Л. Миронов, С. С. Хмелевцов. *Лазерное излучение в турбулентной атмосфере*. «Наука», М., 1976.
- [8] Ф. Олвер. *Введение в асимптотические методы и специальные функции*. «Наука», М., 1978.

Поступило в Редакцию 19 октября 1979 г.